

# ЧИСЛЕННАЯ МОДЕЛЬ КРУТИЛЬНОГО ВИСКОЗИМЕТРА, ЗАПОЛНЕННОГО НЬЮТОНОВСКОЙ ЖИДКОСТЬЮ

**A.E. Коренченко., О.А. Головня, В.П. Бескачко**

Численными методами решается задача о движении крутильного вискозиметра, заполненного ньютоновской жидкостью, за пределами приближений, принятых в стандартных аналитических теориях. Расчеты проведены для случая бесконечного цилиндра и для осесимметричных течений в конечном цилиндре. Проведено сравнение с результатами аналитических вычислений.

**Введение.** Крутильный вискозиметр является широко распространенным инструментом для изучения вязкости жидкостей, в особенности, агрессивных, например, металлических расплавов. Он представляет собой прямой круговой цилиндр, заполненный исследуемой жидкостью и подвешенный вдоль своей геометрической оси на упругой нити. Непосредственно наблюдаемыми величинами являются период  $T$  и декремент  $\delta$  режима установившихся затухающих колебаний. Эти две величины зависят от выбора параметров установки, а также от свойств заполняющей цилиндр жидкости – ее (кинематической) вязкости  $\nu$  и плотности  $\rho$ . Задача вискозиметрической теории заключается в установлении связи между наблюдаемыми параметрами колебаний ( $T$  и  $\delta$ ), параметрами установки и параметрами жидкости ( $\nu$  и  $\rho$ ). С формально-математической точки зрения она представляет собой сопряженную задачу о движении твердого тела и заполняющей его жидкости, точное решение которой в конечном аналитическом виде в настоящее время не найдено, да и вряд ли существует вообще. Известен лишь ряд приближенных решений, справедливых при некоторых предположениях о характере течения жидкости, первое из которых было найдено в [1]. Практически все имеющиеся сегодня экспериментальные данные обработаны с использованием методики, предложенной в этой работе или подобных ей и отличающихся друг от друга вычислительными деталями, но не исходными положениями. Накопившиеся, однако, противоречия в вискозиметрических данных делают привлекательной попытку решения той же задачи за пределами принятых приближений, полагаясь только на фундаментальные принципы механики. Сделать это в настоящее время можно только численными методами, что и составляет цель настоящей работы, первые результаты которой были уже представлены в [2].

**Математическая модель.** Пусть цилиндр с замкнутыми сверху и снизу торцами полностью заполнен исследуемой жидкостью, которая полагается ньютоновской. Уравнение его движения при условии пренебрежения затуханием колебаний, связанным с процессами внутреннего трения в нити и трением о воздух, имеет вид

$$I_{\text{u}} \frac{df}{dt} = -\kappa\varphi + M_{\text{tp}}. \quad (1)$$

Здесь  $I_{\text{u}}$ ,  $f$  и  $\varphi$  – момент инерции, угловая скорость и угол поворота цилиндра,  $\kappa$  – крутильная жесткость нити,  $M_{\text{tp}}$  – момент вязких сил, действующий на цилиндр со стороны жидкости:

$$M_{\text{tp}} = M_1 + M_2,$$

где моменты  $M_1$  и  $M_2$  обусловлены трением жидкости о боковую поверхность цилиндра и его торцы соответственно:

$$M_1 = 2\pi\eta R^2 \int_0^H \left( \frac{\partial V_\varphi}{\partial r} - \frac{V_\varphi}{r} \right) \Big|_{r=R} dz,$$

$$M_2 = 2\pi\eta \int_0^R \left( \frac{\partial V_\varphi}{\partial z} \right) \Big|_{z=0} r^2 dr - 2\pi\eta \int_0^R \left( \frac{\partial V_\varphi}{\partial z} \right) \Big|_{z=H} r^2 dr.$$

Здесь  $V_\varphi = V_\varphi(r, \varphi, z, t)$  – азимутальная компонента поля скорости  $\mathbf{V} = (V_r, V_\varphi, V_z)$  (введена цилиндрическая система координат),  $H$  и  $R$  – высота и радиус цилиндра. В работе ограничимся изуче-

нием только осесимметричных режимов течения, когда ни одна из интересующих нас переменных не зависит от азимутального угла  $\varphi$ .

Движение цилиндра возбуждает течение заполняющей его жидкости, подчиняющееся системе уравнений Навье – Стокса и неразрывности. Введем следующие безразмерные переменные и

параметры:  $x = \frac{z}{R}$ ,  $y = \frac{r}{R}$  – компоненты радиус-вектора,  $\tau = \frac{t\nu}{R^2}$  – безразмерное время,  $\mathbf{v} = (u, v, w)$

– компоненты вектора скорости,  $\mathbf{v} = \mathbf{V} \frac{R}{\nu}$ ,  $p$  – возмущение давления сверх  $\rho g z$ , отнесенное к

$\frac{R}{\rho \nu^2}$ ,  $G = \frac{R^4 \kappa}{\nu^2 I_u}$  – безразмерный коэффициент жесткости нити на кручение,  $m_f$  – момент вязких

сил. Тогда движение цилиндра и заполняющей его жидкости описывается следующей системой уравнений:

$$\begin{cases} \frac{df}{d\tau} = -G\varphi + m_f, \\ \frac{\partial \mathbf{v}}{\partial \tau} + (\mathbf{v} \nabla) \mathbf{v} = -\nabla p + \Delta \mathbf{v}, \\ \frac{1}{y} \frac{\partial(yv)}{\partial y} + \frac{\partial u}{\partial x} = 0. \end{cases} \quad (2)$$

Границными условиями для (2) служат условия прилипания жидкости ко всем твердым границам:

$$w(1, x, \tau) = f,$$

$$w(y, 0, \tau) = w(y, H/R, \tau) = f \cdot y, \quad (3a)$$

$$v(y, 0, \tau) = u(y, 0, \tau) = v(y, H/R, \tau) = u(y, H/R, \tau) = v(1, x, \tau) = u(1, x, \tau) = 0.$$

Кроме того, на оси сосуда выполняются условия

$$\frac{\partial u}{\partial y} = \frac{\partial p}{\partial y} = 0, \quad v = 0, \quad w = 0, \quad (3b)$$

обусловленные осевой симметрией течения. Жидкость в начальный момент времени покоятся, а цилиндр удерживается в состоянии покоя в положении, повернутом на угол  $\varphi_0$  относительно положения равновесия. В соответствии со сказанным выше начальными условиями для уравнений (2) являются:

$$\mathbf{v}(x, y) = 0, \quad f(0) = 0, \quad \varphi(0) = \varphi_0. \quad (4)$$

Задача заключается в отыскании закона движения цилиндра  $\varphi(\tau)$ .

**Численное решение.** Численное решение системы (2) с граничными условиями (3) и начальными условиями (4) находилось методом конечных разностей. Использовались равномерные пространственные сетки с максимальной размерностью  $36 \times 36$  в осевом и радиальном направлениях. Дискретизация гидродинамических уравнений производилась по схеме центральных разностей с точностью  $(\Delta x)^2$  по пространственным переменным. Линеаризация получаемых в результате нелинейных разностных уравнений проводилась методом Ньютона, а решение линеаризованных систем уравнений – методом исключения Гаусса. Для контроля консервативных свойств решения проверялось равенство нулю суммарного потока в каждом поперечном сечении цилиндра или замкнутость линий тока в осевом сечении в любой момент времени. Расчеты проводились для цилиндров с размерами, обычно используемыми на практике: внутренний радиус изменялся в пределах от 1 до 3 см, а высота – от 1 до 7 см. Отношение моментов инерции цилиндра и «замороженной» жидкости варьировалось в диапазоне от 2 до 20, а вязкость исследуемой жидкости выбиралась в интервале  $(10^{-7} \text{ м}^2/\text{с} \leq \nu \leq 8 \cdot 10^{-6} \text{ м}^2/\text{с})$ , свойственном легкотекучим жидкостям (вода, металлические расплавы).

**Результаты и обсуждение.** Вернемся к приближениям, используемым в стандартных вискозиметрических теориях и оценим их справедливость, располагая численным решением рассматриваемой задачи

1 Предположение о малости радиальной и осевой компонент скорости жидкости по сравнению с азимутальной не всегда верно для цилиндра конечной длины. В работе [2] обнаружено, что в осевой плоскости вискозиметра образуются течения, длиющиеся во все время существования крутильных колебаний. Однако вопрос об абсолютных величинах осевой и радиальной компонент в сравнении с азимутальной в [2] не обсуждался. На рис 1 показано поле скорости в осевой плоскости для цилиндра с  $R=H=1$  см, заполненного жидкостью с вязкостью  $5 \cdot 10^{-7} \text{ м}^2/\text{с}$ . Видно образование четырех вихрей, причем наибольшая осевая скорость наблюдается вблизи оси цилиндра. На рис 2 приведены временные зависимости осевой скорости в жидкости для отношений  $\gamma=H/R=1$  и  $\gamma=2$ , и указано амплитудное значение азимутальной скорости. Из рисунка видно, что абсолютное значение осевой скорости увеличивается при уменьшении отношения  $\gamma$ , а отношение наибольших значений осевой и азимутальной скоростей для  $\gamma=1$  превышает 0,1. Это не дает достаточных оснований для пренебрежения нелинейными слагаемыми в уравнениях (2), во всяком случае, на начальном этапе колебаний

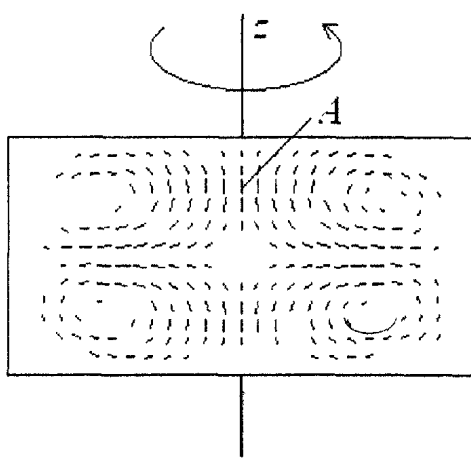


Рис 1 Распределение скоростей в осевой плоскости цилиндра. Наибольшая осевая скорость отвечает точке А ( $0.8H, 0$ )

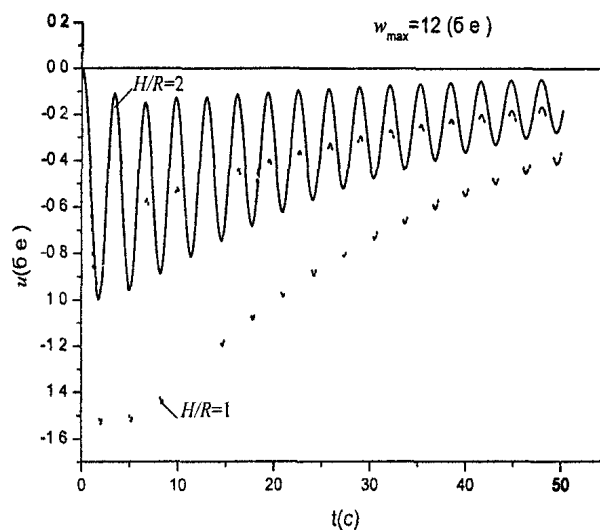


Рис 2 Осевая скорость в области наиболее интенсивного движения,  $I_u/I_k = 20$

2 Для разделения переменных в уравнениях (2) используется предположение о том, что жидкость внутри цилиндра совершает колебательные движения около положения равновесия с частотой, равной частоте колебаний цилиндра и фазой, определяемой скоростью передачи момента импульса к внутренним слоям. Это предположение выполняется не всегда. На рис 3 изображены зависимости от времени азимутальной скорости на небольших расстояниях ( $r=R/4$ ) от оси вращения для жидкостей с различной вязкостью. Условия подобраны так, чтобы частота колебаний была одинаковой для всех трех рассмотренных случаев. Как видно из рисунка, предположение о гармоническом характере изменения азимутальной скорости выполняется лишь асимптотически и тем позднее, чем

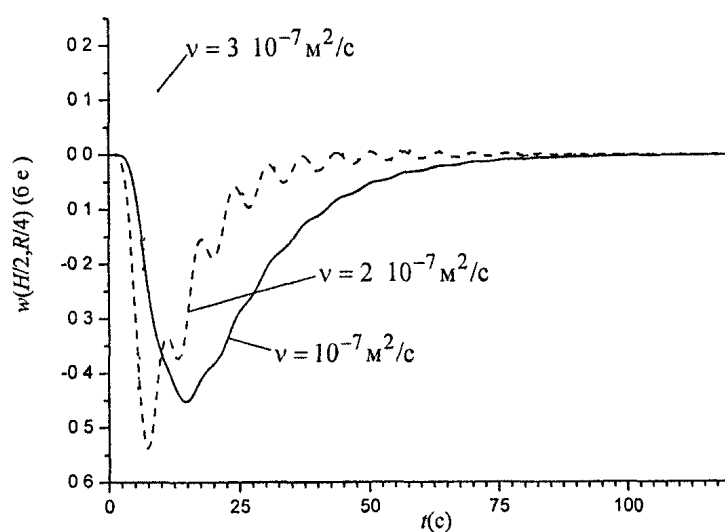


Рис. 3. Зависимость азимутальной скорости вблизи оси от времени,  $I_u/I_k = 2$

меньше вязкость жидкостей. Чем дальше от оси (и ближе к стенкам), тем быстрее устанавливается режим затухающих колебаний.

Сравним, наконец, предсказания аналитических и численных расчетов параметров колебаний вискозиметра. Для этого, выбрав некоторые параметры установки и зафиксировав плотность жидкости, мы выполнили серию расчетов зависимости  $\varphi(\tau)$  для значений вязкости, типичных для низковязких жидкостей. Далее эти данные были подогнаны под зависимость вида

$$\varphi(\tau) = A \cdot e^{-\delta\tau} \sin(\omega\tau + \psi) \quad (5)$$

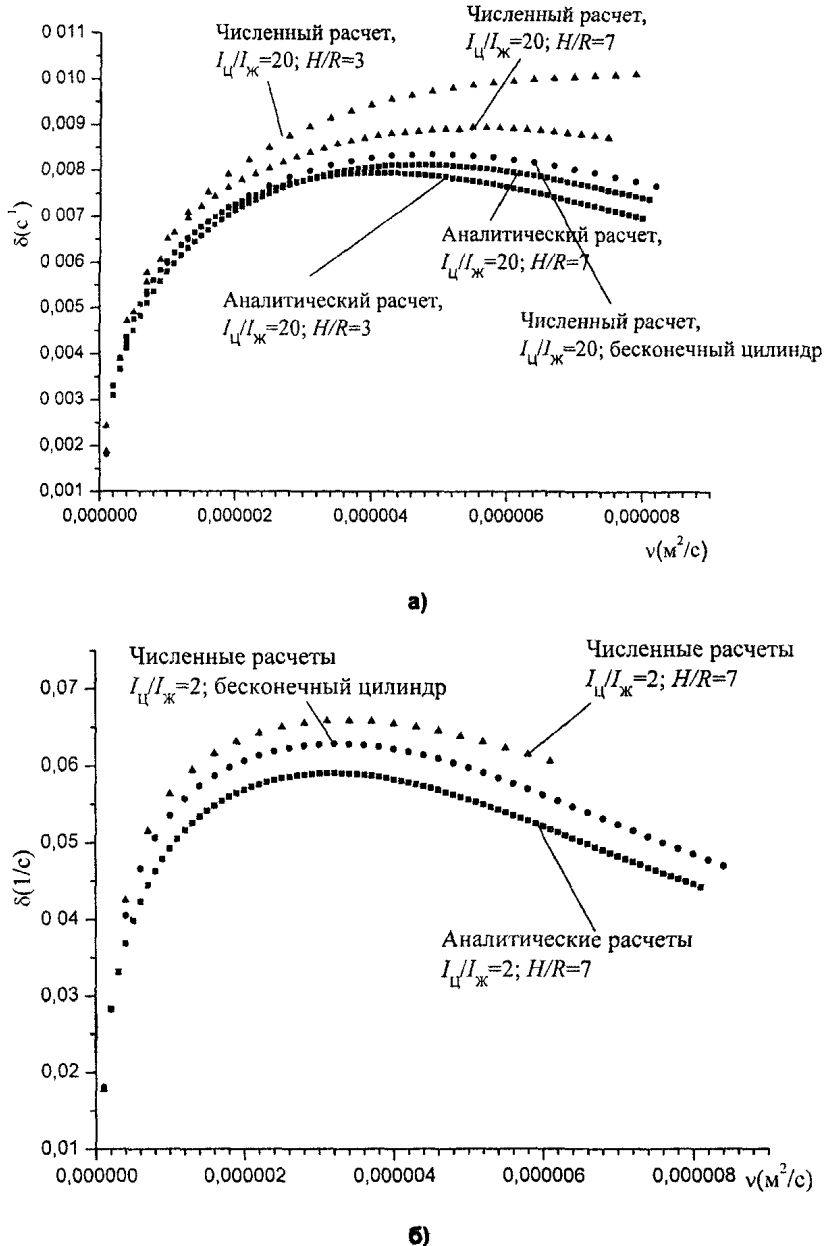


Рис. 4. Зависимость коэффициента затухания колебаний от вязкости жидкости; а)  $\beta = 20$ , б)  $\beta = 2$

ном значении вязкости жидкости в аналитических и численных моделях прямо противоположны друг другу: первая из них предсказывает уменьшение  $\delta$  с уменьшением  $\gamma$ , а вторая – его увеличение. Наконец, при переходе в численной модели от  $\gamma = 7$  к  $\gamma = 3$  максимум на зависимости  $\delta(\nu)$  пропадает: либо перемещается за пределы исследованного интервала вязкостей, либо исчезает вовсе. Последняя возможность противоречит, однако, естественному предположению [1] о том, что функция  $\delta(\nu)$  должна уменьшаться при больших  $\nu$ . При переходе от  $\beta = 20$  к  $\beta = 2$  (рис. 4б) ситуация не становится лучше. Здесь дело осложняется тем, что предположение анали-

с целью определения частоты колебаний  $\omega$  и коэффициента затухания  $\delta$ . Подгонка осуществлялась методом наименьших квадратов с минимизацией методом Розенброка [3]. На рис. 4а, б изображены зависимости коэффициента затухания от вязкости жидкости. Квадратами во всех случаях помечена аналитическая зависимость, полученная в [1], треугольниками показаны результаты численных расчетов. Видно, что аналитические и численные предсказания заметно отличаются друг от друга. Согласие между ними, видимо, достигается лишь в пределе малой вязкости, а с ростом вязкости становится тем хуже, чем больше вязкость. Из рис. 4а видно также, что при фиксированном значении  $\beta = I_u / I_jk$  (равном 20 в данном случае) согласие тем лучше, чем «длиннее» цилиндр – чем больше параметр  $\gamma = H / R$ . При  $\gamma \rightarrow \infty$  аналитические и численные результаты практически повторяют друг друга, а при конечном  $\gamma$  располагаются по разные стороны от этой «кривой согласия» (отвечающей  $\gamma = \infty$ ) и отстоят от нее тем дальше, чем меньше  $\gamma$ . Таким образом, предсказания зависимости коэффициента затухания от выбора параметра  $\gamma$  при фиксированном значении  $\beta$  не всегда одинаковы.

тической теории о характере движения внутренних слоев жидкости (затухающие колебания) выполняется тем хуже, чем меньше отношение  $\beta$ . При малых  $\beta$  внутренние области жидкости могут практически не участвовать в колебаниях (см. рис. 3), что может быть одной из причин расхождения аналитических и численных данных.

На данный момент трудно сказать, что является причиной несоответствия в предсказаниях аналитических и численных моделей. С одной стороны, аналитические модели основываются на приближениях, которые, как мы видели, оправдываются не безусловно. С другой стороны, при применении численных моделей встречаются свои подводные камни, препятствующие получению результатов необходимой точности. Среди них, помимо обычно обсуждаемых (таких как схема дискретизации, параметры сетки и т.п.), отметим специфические для данной задачи:

1) необходимость изучения асимптотических решений, справедливых при временах, достаточно удаленных от момента возбуждения колебаний,

2) необходимость получения максимально точной картины движения жидкости в окрестности твердых границ – в связи с расчетом вязких сил, действующих на твердое тело.

Преодоление каждой из отмеченных трудностей требует применения специальных вычислительных приемов и средств, которые не были использованы в настоящей работе в полной мере. Сейчас не ясно, насколько эти приемы и средства способны изменить описанные выше результаты. Для решения этого вопроса необходимы дальнейшие исследования.

*Работа выполнена при поддержке РФФИ-Урал (№ 01-01-96424).*

#### Литература

1. Швидковский Е.Г. Некоторые вопросы вязкости расплавленных металлов. – М.: ГИТТЛ, 1955. – 206 с.
2. Коренченко А.Е., Бескачко В.П. Особенности установления колебаний в крутильном вискозиметре // Вестник ЮУрГУ. Серия «Математика, физика, химия». – 2002. – № 3. – Вып. 2. – С. 62–67.
3. Химмельблау Д. Прикладное нелинейное программирование. – М.: Мир, 1975.– 534 с.

*Поступила в редакцию 25 апреля 2003 г.*